

京大防災研 正会員 土屋義人
 " " 芝野照夫

1. 緒言 最近臨海工業地帯の造成に伴い、水深15m以上の比較的深い海域に埋立護岸を設けようになつてきし。この場合、護岸の設計にあたつては、背後地の利用との関係もあるが、一般に背後地の排水施設と越波防止効果の経済性を考慮して、護岸の天端高や構造が決定されるのが普通のようである。一方、護岸の越波防止機能に関する研究がさかんに行なわれ、比較的深い海域に設置した護岸の越波量の推定もかなり実用的に可能な段階にすつといふが、越波性能の解明や各種の異常護岸の越波についてはなお今後の研究にまづべきところが少くない。しかしながら、水深が比較的深い海域に設けられる護岸の越波特性は、一般に波高とともに越波量が急増し、また未襲波浪も水深によつて限界されない。したがつて、護岸の防災対策を考える場合には、できるだけ異常波浪時の災害を軽減するような配慮が必要である。本研究では、こうした立場から護岸構造による越波防止機能の変化とその防災対策との関連について考察する。

2. 護岸の越波防止機能と異常波浪時の対策 一般に埋立護岸はけい船などの都合により、鉛直護岸またはこれに近い構造の護岸が多い。これららの護岸では図-1に示すように、越波量は波高の増大とともに急増する。計重波浪(たとえば計重波高 H_d より周期 T_d)に対する護岸の越波量 Q_d は、従来の実験値によるとかくらいは適當な模型実験によつて推定することができるので、これに対する背後地の防災対策は確実に行なうことができるはずである。災害が起つるのは、この計重波浪を越えて異常波浪の未襲によるものと考えられるので、すればそのときの損害を最小限に留めることでできる護岸構造を选定することが、防災上必要といわねばならない。

鉛直護岸の越波量は図中曲線Aに示すように、波高の増大とともに急増し、異常波浪時の波高が計重波高をわずか越えても越波量は数倍あるいは数十倍以上にも増加する。この場合、計重波高 H_d に対する許容越波量 Q_d が採用されたとし、これに対して曲線Bが示される越波防止機能とも護岸があつて、計重波高に対する越波量を Q'_d とし、かつ $Q'_d > Q_d$ とする。 $Q'_d \gg Q_d$ で計重上支障が大きすぎればやむをえないが、さもない限りたとえ $Q'_d > Q_d$ であつても、計重波浪を越えて異常波浪時に越波量が急増しないような護岸こそ、防災上有利な護岸といつべきである。たゞし、図中に示した曲線Bの場合のように、計重波高より小さな波高で越波する場合には、一般に越波ひん度が増加するので、けい船図-2 比較実験に用いたなど護岸の利用面からの検討が必要であることはいうまでもない。

模型護岸の概略図は、この観点に立つて二、三の護岸構造の越波防止機能を比較し、果して図-1に示した曲線Bのような越波特性の護岸が存在するかどうかを検討した実験結果の一例を述べる。

3. 護岸構造による越波防止機能の比較 前述した目的に対する実験的研究の一例として、水深約16mの海域で、計重波浪として波高3.5m、周期6.7より8secのものを対象とし、縮尺1/50で次の

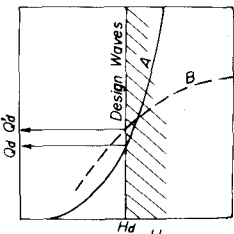
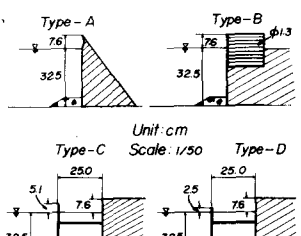


図-1 護岸の越波特性の説明図



Type-A
Type-B
Unit: cm
Scale: 1/50
Type-C
Type-D

51 76 250
325
25 76 250
325

ような比較実験を行なつに。

(1) 模型護岸と実験方法 模型護岸は図2に示すように、基本的には3種類とし、このうちAおよびEはパラベットのある鉛直護岸で後者はパラベットを約4cm後退させたものであり、Bは静水面は近くの半水平にΦ13mm（模型護岸との寸法）のパイプを消波工として用いたものである。またCおよびDは前面に越波減殺のために副護岸を設け、越波した水は護岸との間に落下し、副護岸と水底との間から逆流し、これが波動運動を減殺させて、越波を防せざるとするものである。これらの護岸に対して、前述した同一條件のもとにそれぞれの越波特性を実験的に調べた。ただしCおよびD護岸の区別は、図に示したように副護岸の高さが異なるといふ感じである。

(2) 実験結果による越波特性の比較 図-3, 4, 5, 6, および7に示すように各種護岸の越波特性を示す。すなわち、図-3に示したパラベット付の鉛直護岸Aでは、越波量は沖波波高 H_o の増大とともに急増し、周期によつてその關係はほとんど変わらない。護岸Eでは図-7に示すように、碎波特性との關係から、越波量は周期によつてかなり変わらぬ、全体的には護岸Aの場合より越波量は減少するといふのである。すなわち、静水面は近（異常潮位時）においてパラベットを後退させることは、この実験範囲では越波防止にある程度寄与すると考えられる。

一方、図-4に示した護岸Bの越波特性は、護岸Eに若干類似しているが、波高の増大による越波量の増加割合はゆるやかである。越波量は約1/4程度に減少する。これらに対して、護岸CおよびDでは、越波量は沖波波高の増加とともに急増せず、その傾向は周期によつてかなり相違するが、この護岸の越波防止性能は2.において期待した防災上有利な護岸としての特性に近いものであるといふのである。ただし、護岸と副護岸との間の水塊の振動特性との関係によって越波防止性能が周期によつて変化するし、また低波高時から越波するので、護岸の利用条件との關係において、さらに詳細に検討すべきであることはいふまでもない。

4. 結語 前述したように異常波浪時の越波防止性能から、防災上有利と考えられる護岸構造もある程度考えられることがわかるので、今後の護岸の越波防止性能を広範囲な波の特性に対して調べるとともに、各種消波護岸の特性を比較検討する必要がある。

最後に、本研究の実施にあたつて配慮いたいた下松市および日建設計K.K.の関係者に謝意を表明するとともに熱心に実験に協力いたいた前田英男氏に感謝する。

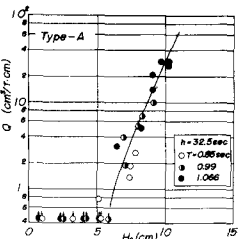


図-3 護岸Aの越波特性

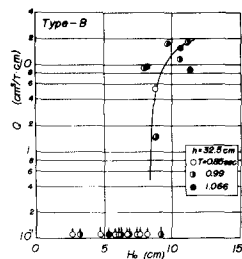


図-4 護岸Bの越波特性

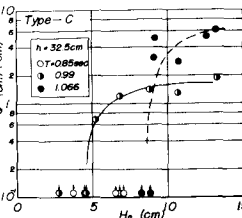


図-5 護岸Cの越波特性

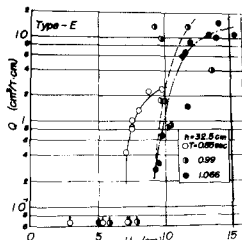


図-6 護岸Dの越波特性

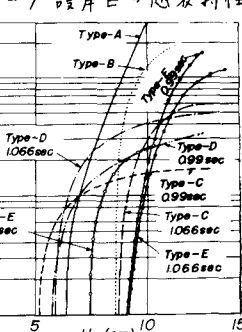


図-7 各種護岸の越波防止機能の比較